



## Проблемы теории упругости

### ТРЕЩИНА В СЕЧЕНИИ ДОРОЖНОГО ПОКРЫТИЯ

Ш.Г. ГАСАНОВ, *канд. техн. наук, доцент*

*Бакинский филиал Московского государственного открытого университета*

Исследуется плоская задача с продольной трещиной, возникающей в сечении дорожного покрытия, сцепленного с упругим основанием из другого материала, когда к поверхности покрытия приложена нормальная нагрузка (давление колеса).

В настоящее время важной общегосударственной задачей является увеличение объема строительства автомобильных дорог при одновременном повышении качества, надежности и долговечности строительства, снижении расхода дефицитных материалов. В связи с этим на первый план выдвигаются проблемы научно обоснованных комплексных методов расчета строительных конструкций на прочность и долговечность, позволяющих на основе полного учета реального состояния материала осуществлять оптимальное проектирование строительных конструкций, обладающих повышенной прочностью, надежностью и долговечностью. Все это в полной мере относится к дорожным покрытиям. Разработка расчетных моделей для исследования повреждения твердого дорожного покрытия представляет собой актуальную проблему. Для обеспечения надежной и безаварийной работы автомобильного транспорта важное значение играет своевременное обнаружение различных повреждений дорожного покрытия. Значительный интерес в связи с этим представляют дефекты типа трещин. Важной проблемой для повышения долговечности дорожного покрытия является установление норм допустимой дефектности, выбор способов и периодичности контроля пути.

При оценке долговечности дорожного покрытия необходимо исходить из возможности наличия в сечении дорожного покрытия наиболее опасных невыявленных дефектов. В связи с этим разработка расчетных моделей для исследования повреждений дорожного покрытия представляет собой актуальную проблему. Примем следующие упрощающие предположения относительно работы дорожного покрытия:

- 1) дорожное покрытие является неразрезной полосой бесконечной длины неизменного поперечного сечения, лежащей на сплошном упругом основании;
- 2) вертикальные силы приложены в плоскости симметрии дорожного покрытия, а боковые и продольные силы не влияют на изгибающий момент и на напряженно-деформированное состояние, вызванное процессом контактирования колеса с дорожным покрытием.

На основании этих принятых предположений для расчета напряженно-деформированного состояния пары дорожное покрытие – упругое основание приходим к следующей задаче теории упругости.

В декартовых координатах  $x, y$  рассмотрим пару «дорожное покрытие – упругое основание». Дорожное покрытие представляет собой полосу толщиной  $h$  с упругими характеристиками  $G_1$  (модуль сдвига) и  $\mu_1$  (коэффициент Пуассона), сцепленную с полуплоскостью (упругое основание) с характеристиками  $G_2$  и  $\mu_2$ .

Пусть в точке  $x = 0, y = h$  (рис. 1) к поверхности покрытия приложена нормальная нагрузка в виде сосредоточенной силы  $P_k$  (давление колеса). Остальная поверхность покрытия принята не нагруженной. Пусть в сечении покрытия имеется прямолинейная трещина длиной  $2l$ , расположенная на отрезке  $|x_1| \leq l, y = h/2$ . В центре трещины разместим начало локальной системы координат  $x_1 O_1 y_1$ , ось  $x_1$  совпадает с линией трещины и параллельна с осью  $x$ . Берега

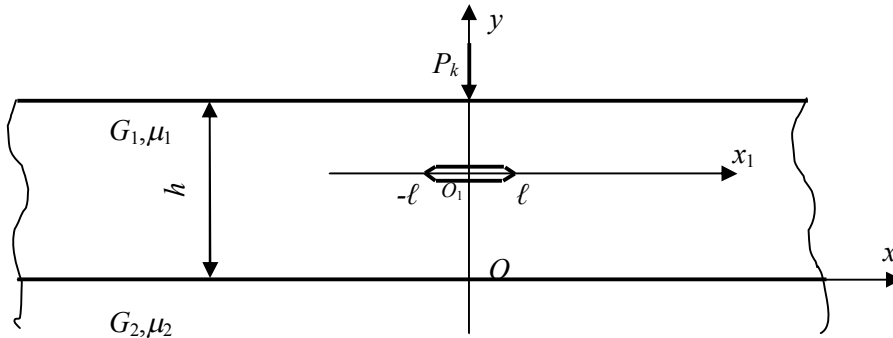


Рис. 1 Расчетная схема задачи

трещины приняты свободны от внешних нагрузок.

Граничные условия задачи запишем в следующей форме:

$$\begin{aligned} \text{при } y = h: \quad & \sigma_y^{(1)} = -P_k \delta(x); \quad \tau_{xy}^{(1)} = 0, \\ \text{при } y = 0: \quad & u^{(1)} + iv^{(1)} = u^{(2)} + iv^{(2)}; \\ & \sigma_y^{(1)} + i\tau_{xy}^{(1)} = \sigma_y^{(2)} + i\tau_{xy}^{(2)}; \\ \text{при } y_1 = 0: \quad & \sigma_{y_1}^{(1)} = 0; \quad \tau_{x_1 y_1}^{(1)} = 0 \quad (|x_1| \leq l). \end{aligned} \quad (1)$$

Здесь верхний индекс (1) соответствует покрытию, верхний индекс (2) - полуплоскости;  $\delta(x)$  – импульсная функция Дирака;  $i$  – мнимая единица.

Считается, что при  $y \rightarrow -\infty$  перемещения и напряжения исчезают, и на границе раздела сред (покрытие и основание) имеет место равенство напряжений и перемещений (условия полного сцепления).

Используем принцип суперпозиции. Тогда напряженное и деформированное состояние двухслойного тела с трещиной можно представить в виде суммы двух состояний. Первое состояние будет определяться из решения следующей краевой задачи для двухслойного тела при отсутствии трещины:

$$\begin{aligned} \text{при } y = h: \quad & \sigma_y^{(1)} = -P_k \delta(x); \quad \tau_{xy}^{(1)} = 0, \\ \text{при } y = 0: \quad & u^{(1)} + iv^{(1)} = u^{(2)} + iv^{(2)}; \\ & \sigma_y^{(1)} + i\tau_{xy}^{(1)} = \sigma_y^{(2)} + i\tau_{xy}^{(2)}. \end{aligned} \quad (2)$$

Второе состояние определяется из решения краевой задачи для полосы с трещиной, на берегах которой действуют усилия, определяемые первым состоянием. Краевые условия второй задачи имеют вид:

$$\begin{aligned} \text{при } y_1 = 0: \quad & \tau_{x_1 y_1} = -p_1(x_1); \quad \sigma_{y_1} = -p(x_1) \quad (|x_1| \leq l), \\ \text{при } y = h: \quad & \sigma_y = 0; \quad \tau_{xy} = 0 \quad (|x| < \infty), \end{aligned} \quad (3)$$

$$\text{при } y = 0: \quad \sigma_y = 0; \quad \tau_{xy} = 0.$$

Здесь  $p(x_1)$  и  $p_1(x_1)$  – нормальные и касательные напряжения, возникающие в сплошной полосе по оси  $x_1$  от приложения заданных нагрузок, снимающих напряжения на границе полосы.

**Решение первой задачи.** Для решения граничной задачи (2) используем функции Папковича-Нейбера  $F_n^m(x, y)$  ( $n, m = 1, 2$ ): по две для полосы (верхний индекс 1) и полуплоскости (верхний индекс 2). Как известно [1], перемещения и напряжения выражаются через эти функции по следующим формулам

$$\begin{aligned} u^{(m)} &= -\frac{\partial F_1^{(m)}}{\partial x} - y \frac{\partial F_2^{(m)}}{\partial y}; \quad v^{(m)} = (3 - 4\mu_m)F_2^{(m)} - \frac{\partial F_1^{(m)}}{\partial y} - y \frac{\partial F_2^{(m)}}{\partial y}, \\ \frac{\sigma_y^{(m)}}{2G_m} &= 2(1 - \mu_m) \frac{\partial F_2^{(m)}}{\partial y} - \frac{\partial^2 F_1^{(m)}}{\partial y^2} - y \frac{\partial^2 F_2^{(m)}}{\partial y^2}, \\ \frac{\tau_{xy}^{(m)}}{2G_m} &= \frac{\partial}{\partial x} \left[ (1 - 2\mu_m)F_2^{(m)} - \frac{\partial F_1^{(m)}}{\partial y} - y \frac{\partial F_2^{(m)}}{\partial y} \right]. \end{aligned} \quad (4)$$

Учитывая симметрию задачи по  $x$ , используем  $\cos$ -преобразование Фурье и примем

$$\begin{aligned} F_1^{(1)} &= \int_0^\infty [Ash\alpha y + Bch\alpha y] \cos \alpha x d\alpha, \quad F_2^{(1)} = \int_0^\infty [Csh\alpha y + Dch\alpha y] \alpha \cos \alpha x d\alpha, \\ F_1^{(2)} &= \int_0^\infty Ee^{\alpha y} \cos \alpha x d\alpha, \quad F_2^{(2)} = \int_0^\infty Fe^{\alpha y} \alpha \cos \alpha x d\alpha. \end{aligned} \quad (5)$$

С помощью соотношений (4) и (5) находим напряжения и перемещения  $\sigma_y^{(m)}$ ,  $\tau_{xy}^{(m)}$ ,  $u^{(m)}$ ,  $v^{(m)}$ . Затем удовлетворяя ими граничным условиям (2) получим систему шести линейных алгебраических уравнений относительно шести неизвестных функций  $A, B, C, D, E, F$  параметра  $\alpha$ :

$$\begin{aligned} 2(1 - \mu_1)(Cch\alpha h + Dsh\alpha h) - Ash\alpha h - Bch\alpha h - \alpha h(Csh\alpha h + Dch\alpha h) &= -\frac{P}{2\pi G_1 \alpha^2}, \\ (1 - 2\mu_1)(Csh\alpha h + Dch\alpha h) - Ach\alpha h - Bsh\alpha h - \alpha h(Cch\alpha h + Dsh\alpha h) &= 0, \\ B = E, \quad (3 - 4\mu_1)D - A = (3 - 4\mu_2)F - E, \\ G_1[2(1 - \mu_1)C - B] = G_2[2(1 - \mu_2)F - E], \quad G_1[(1 - 2\mu_1)D - A] = G_2[(1 - 2\mu_2)F - E]. \end{aligned} \quad (6)$$

Решая систему (6) методом последовательного исключения, находим функции  $A, B, C, D, E, F$ . Ввиду некоторой громоздкости они не приводятся в явном виде. По формулам (4) при  $y = h/2$ ,  $|x| \leq \ell$  находятся величины  $p(x)$  и  $p_1(x)$ .

Следуя [2] для задачи, описывающей второе напряженное состояние, получим интегральное уравнение

$$\begin{aligned} \int_{-1}^1 \frac{g'(\eta) d\eta}{\eta - \xi} + \int_{-1}^1 [g'(\eta)R(\eta, \xi) + \overline{g'(\eta)}S(\eta, \xi)] d\eta = \pi p_0(\xi), \\ p_0(\xi) = p(\xi) + ip_1(\xi), \quad |\xi| < 1, \quad \frac{i(1 + \kappa_0)g'(x)}{2G_1} = \frac{\partial}{\partial x} [u^+ - u^- + i(v^+ - v^-)]. \end{aligned} \quad (7)$$

Здесь  $\kappa_0$  - постоянная Мусхелишвили для материала полосы.

$$\begin{aligned}
R(\eta, \xi) &= \int_0^\infty \left[ \left( \frac{1}{sh2\tau + 2\tau} + \frac{1}{sh2\tau - 2\tau} \right) H_1(\xi, \eta, \tau, 0) + \right. \\
&\quad \left. + \left( \frac{1}{sh2\tau + 2\tau} - \frac{1}{sh2\tau - 2\tau} \right) G_1^*(\xi, \eta, \tau, 0) \right] d\tau, \\
S(\eta, \xi) &= \int_0^\infty \left[ \left( \frac{1}{sh2\tau + 2\tau} - \frac{1}{sh2\tau - 2\tau} \right) H_2(\xi, \eta, \tau, 0) + \right. \\
&\quad \left. + \left( \frac{1}{sh2\tau + 2\tau} + \frac{1}{sh2\tau - 2\tau} \right) G_2^*(\xi, \eta, \tau, 0) \right] d\tau
\end{aligned} \tag{8}$$

где  $H_1(\xi, \eta, \tau, 0) = H_2(\xi, \eta, \tau, 0) = (\lambda/2) \cdot (-1 - 2\tau^2 + e^{-2\tau}) \sin[\lambda\tau(\eta - \xi)]$ ;  
 $G_1^*(\xi, \eta, \tau, 0) = G_2^*(\xi, \eta, \tau, 0) = -\lambda\tau \sin[\lambda\tau(\eta - \xi)]$ ;  $\lambda = \ell/h$ .

Ядра  $R(\eta, \xi)$  и  $S(\eta, \xi)$  действительны, интегральное уравнение (7), как и следовало ожидать, распадается на два действительных уравнения. В случае симметричной задачи (трещина нормального разрыва), когда на берегах трещины действуют только нормальные усилия  $p(x)$ , находим

$$\int_{-1}^1 \left[ \frac{1}{\eta - \xi} + \lambda \int_0^\infty \frac{(-1 - 2\tau - 2\tau^2 + e^{-2\tau})}{sh2\tau + 2\tau} \sin \lambda\tau(\eta - \xi) d\tau \right] v'(\eta) d\eta = \pi p(\xi), \quad |\xi| < 1. \tag{9}$$

Если воспользоваться значением интеграла  $\int_0^\infty \sin \tau x dx = \frac{1}{x}$ , принимаемом в обобщенном смысле Абея, интегральное уравнение можно записать в виде [2]

$$\int_{-1}^1 v'(\eta) K_1(\eta - \xi) d\eta = \pi p(\xi), \quad |\xi| < 1, \quad K_1(\eta) = 2\lambda \int_0^\infty \frac{sh^2\tau - \tau^2}{sh2\tau + 2\tau} \sin \lambda\tau\eta d\tau, \tag{10}$$

которое преобразуется в интегральное уравнение Фредгольма

$$\Phi(\xi) = -\frac{2}{\pi} \int_0^\xi \frac{p(\eta) d\eta}{\sqrt{\xi^2 - \eta^2}} + \int_0^1 F(\eta, \xi) \Phi(\eta) d\eta, \quad 0 \leq \eta < 1, \tag{11}$$

где  $F(\eta, \xi) = \lambda^2 \eta \int_0^\infty \frac{1 + 2\tau + 2\tau^2 - e^{-2\tau}}{sh2\tau + 2\tau} J_0(\lambda\eta\tau) J_0(\lambda\xi\tau) \tau d\tau$ ,

$$v(x) = \begin{cases} 0, & x > \ell \\ \int_x^\ell \frac{u\Phi(u) du}{\sqrt{u^2 - x^2}}, & 0 \leq x < \ell \end{cases}$$

$J_0(u)$  – функция Бесселя первого порядка.

При действии только касательных усилий на берегах трещины (трещина поперечного сдвига) интегральное уравнение преобразуется к виду

$$\int_{-1}^1 u'(\eta) K_2(\eta - \xi) d\eta = \pi p_1(\xi), \quad |\xi| < 1 \tag{12}$$

где  $K_2(\eta) = \lambda \int_0^\infty L(\tau) \sin \lambda\tau\eta d\tau$ ;  $L(\tau) = 2 \frac{sh^2\tau - \tau^2}{sh2\tau - 2\tau}$

Коэффициенты интенсивности напряжений находим по формулам

$$K_I^\pm - iK_{II}^\pm = \mp \lim_{x \rightarrow \pm \ell} \left[ \sqrt{\frac{\pi(\ell^2 - x^2)}{\ell}} g'(x) \right].$$

Решения интегральных уравнений сводились к решению системы неоднородных алгебраических уравнений  $M \times M$ . Проведенный численный анализ показывает, что для получения устойчивого значения искомых функций необходимо взять  $M \geq 20$ .

Функции  $K_1(\eta, \xi)$  и  $K_2(\eta, \xi)$  вычислялись так. Вместо  $\int_0^\infty$  взято было  $\int_0^A$ .

Анализ показывает, что подынтегральные функции экспоненциально убывают при  $\tau \rightarrow \infty$ . Для того, чтобы исследовать как влияет значение  $A$  на значения искомых функций, были взяты следующие значения  $A = 10, 20, 30, 100$ . При этом найдено, что если  $A = 100$ , то значения функций  $K_1(\eta, \xi)$  и  $K_2(\eta, \xi)$  при фиксированном значении  $\eta, \xi \in [-1, 1]$  с точностью  $10^{-4}$  равно значению функции  $K_1(\eta, \xi)$  и  $K_2(\eta, \xi)$ , соответственно, при  $A = 10$ .

Для численного расчета принято  $A = 10$ .

Анализ результатов вычислений для трещины нормального разрыва (рис. 2) позволяет сделать следующие выводы:

а) если  $G_1/G_2 > 1$ , то при постоянной внешней нагрузке  $P_k$  и при фиксированных значениях других параметров задачи с увеличением длины трещины коэффициент интенсивности напряжений  $K_I$  увеличивается;

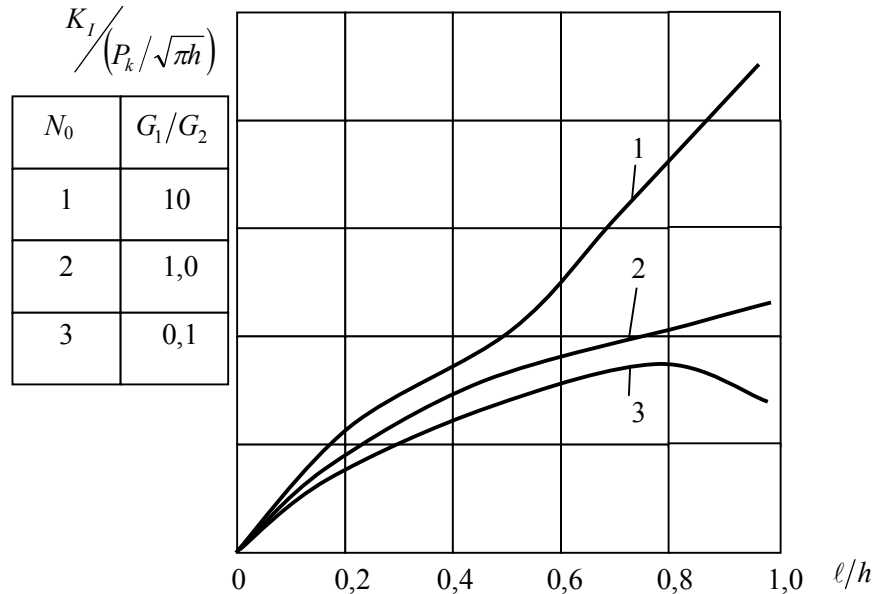


Рис. 2. Зависимости коэффициента интенсивности напряжения  $K_I$  от длины трещины

б) если  $G_1/G_2 < 1$ , то при постоянной внешней нагрузке и при фиксированных значениях других параметров задачи, безразмерный коэффициент интенсивности напряжений  $K_I / (P / \sqrt{\pi h})$  с увеличением длины трещины сначала увеличивается, а затем, начиная с некоторого значения  $l/h$ , медленно уменьшается.

Приравнявая  $K_I$  на трещиностойкость  $K_{Ic}$  покрытия, содержащего в сечении трещину, находим критическую нагрузку или критическую длину трещины, приводящих к разрушению дорожного покрытия.

Для облегчения расчетов при вычислении коэффициентов интенсивности напряжений поступали следующим образом. Находили максимальные значения усилий  $p(x)$  и  $p_1(x)$ :  $\sigma_0 = \max p(x)$ ;  $\tau_0 = \max p_1(x)$ ,  $|x| \leq \ell$ .

Тогда для коэффициентов интенсивности напряжений можно использовать следующие известные формулы

$$K_I = 2\sigma_0 \sqrt{\pi\ell} \sqrt{\frac{3}{\pi\lambda}} th \sqrt{\frac{\pi\lambda}{3}} f_1(\lambda); \quad (13)$$

$$f_1(\lambda) = f(\lambda) + (0,6733 + \lambda)^{-1} (0,2409 + 0,4052\lambda + 0,162\lambda^2 + 0,3601\lambda^3) e^{-\lambda};$$

$$f(\lambda) = (0,6733 + \lambda)^{-1} (0,0957 + 0,4533\lambda + 0,6733\lambda^2 + \lambda^2/3);$$

$$K_{II} = \frac{2\tau_0}{\sqrt{\pi}} K(th\pi\lambda) \sqrt{\frac{\ell th\pi\lambda}{\pi\lambda}}, \text{ где } K(a) \text{ – полный эллиптический интеграл 1-го рода.}$$

Другой способ учета усилий  $p(x)$  и  $p_1(x)$  заключается в том, что вместо истинного их распределения: учитываем их результирующую силу, приложенную в ее середине, т.е.

$$P = \int_{-\ell}^{\ell} p(x) dx; \quad Q = \int_{-\ell}^{\ell} p_1(x) dx.$$

Тогда для коэффициентов интенсивности напряжений, имеем

$$K_I = \frac{P}{\sqrt{\pi\ell}} (1 + 2,2838\lambda^2 - 0,7854\lambda^4) + O(\lambda^6); \quad (14)$$

$$K_{II} = \frac{Q}{\sqrt{\pi\ell}} (1 + 1,3338\lambda^2 - 1,0440\lambda^4) + O(\lambda^6)$$

$$\text{При больших значениях } \lambda: K_I = P\lambda \frac{\sqrt{\lambda}}{2\sqrt{\ell}}; \quad K_{II} = Q \sqrt{\frac{\lambda}{\ell}} cth\pi\lambda.$$

С помощью формул (13), (14) для коэффициентов интенсивности напряжений и критерия хрупкого разрушения Ирвина [3] можно исследовать предельное состояние дорожного покрытия, имеющего в сечении продольную трещину.

#### Л и т е р а т у р а

1. Уфлянд Я.С. Интегральные преобразования в задачах теории упругости. – М.; Л.: Изд-во АН СССР, 1963. – 367 с.
2. Панасюк В.В., Саврук М.П., Дацьшин А.П. Распределение напряжений около трещин в пластинах и оболочках. – Киев: Наукова думка, 1976. – 443 с.
3. Черепанов Г.П. Механика хрупкого разрушения. – М.: Наука, 1974. – 640 с.

### CRACK IN SECTION OF THE ROADWAY COVERING

Sh.G. Gasanov

The plane problem in the longitudinal crack arising in section of a roadway covering, linked with the elastic basis from other material when normal loading (pressure of a wheel) is enclosed to a surface of a covering is investigated.